

# 粒子物理简介

## 第六节 电弱规范理论

余钊焕

中山大学物理学院

<http://yzhxxzxy.github.io>



2020 年 8 月



# 费米子螺旋度

旋量场  $\psi(x)$  描述的费米子具有左旋和右旋两种**极化态**

● **左旋**费米子的螺旋度为**负**，即自旋  $\mathbf{S}$  在动量  $\mathbf{p}$  方向上的投影为负

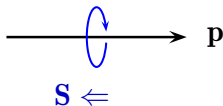
● **右旋**费米子的螺旋度为**正**，即自旋  $\mathbf{S}$  在动量  $\mathbf{p}$  方向上的投影为正

● 对于**有质量**的费米子，洛伦兹变换可以把动量方向反过来，**翻转螺旋度**

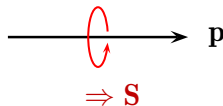
● 对于**无质量**的费米子，螺旋度在任意惯性系中都相同

👉 可以将左旋和右旋费米子视作两种**不同**粒子

👉 螺旋度成为区分正反粒子的量子数，**左旋正费米子的反粒子是右旋反费米子，右旋正费米子的反粒子是左旋反费米子**




左旋极化



右旋极化


# 旋量场手征性与宇称不守恒


 引入**左手**投影算符  $P_L \equiv \frac{1}{2}(1 - \gamma^5)$  和**右手**投影算符  $P_R \equiv \frac{1}{2}(1 + \gamma^5)$

 将旋量场  $\psi(x)$  分解为**左手旋量场**  $\psi_L \equiv P_L \psi$  和**右手旋量场**  $\psi_R \equiv P_R \psi$


 对于**无质量**旋量场，或在可忽略质量的高能极限下，**手征性等价于螺旋度**

 左手场  $\psi_L(x)$   $\begin{cases} \text{左旋正费米子} \\ \text{右旋反费米子} \end{cases}$       右手场  $\psi_R(x)$   $\begin{cases} \text{右旋正费米子} \\ \text{左旋反费米子} \end{cases}$

 **质量项**  $m\bar{\psi}\psi = m(\bar{\psi}_R\psi_L + \bar{\psi}_L\psi_R)$  相当于左右手旋量场的耦合项

 在**空间反射变换**下，动量方向反转，自旋方向不变，因而螺旋度**符号翻转**

★ 对于**宇称守恒**的理论，如**量子电动力学**和**量子色动力学**，存在空间反射对称性，左右手旋量场具有**相同**的相互作用

 在**弱相互作用**中，**宇称不守恒**，不存在空间反射对称性，其根源在于**左右手旋量场参与不同的规范相互作用**

# 电弱规范理论


 电弱规范理论是  $SU(2)_L \times U(1)_Y$  规范理论

  $SU(2)_L$  的生成元称为**弱同位旋**  $T^a$ ,  $U(1)_Y$  的生成元称为**弱超荷**  $Y$

 **电荷**  $Q = T^3 + Y$ , 类似于盖尔曼-西岛关系

 左手旋量场构成  $SU(2)_L$  **二重态**, 右手旋量场则是  $SU(2)_L$  **单态**

统一记号	第 1 代	第 2 代	第 3 代	$T^3$	$Y$	$Q$
$L_{iL} = \begin{pmatrix} \nu_{iL} \\ \ell_{iL} \end{pmatrix}$	$\begin{pmatrix} \nu_{eL} \\ e_L \end{pmatrix}$	$\begin{pmatrix} \nu_{\mu L} \\ \mu_L \end{pmatrix}$	$\begin{pmatrix} \nu_{\tau L} \\ \tau_L \end{pmatrix}$	$1/2$ $-1/2$	$-1/2$ $-1/2$	$0$ $-1$
$Q_{iL} = \begin{pmatrix} u_{iL} \\ d'_{iL} \end{pmatrix}$	$\begin{pmatrix} u_L \\ d'_L \end{pmatrix}$	$\begin{pmatrix} c_L \\ s'_L \end{pmatrix}$	$\begin{pmatrix} t_L \\ b'_L \end{pmatrix}$	$1/2$ $-1/2$	$1/6$ $1/6$	$2/3$ $-1/3$
$\ell_{iR}$	$e_R$	$\mu_R$	$\tau_R$	$0$	$-1$	$-1$
$u_{iR}$	$u_R$	$c_R$	$t_R$	$0$	$2/3$	$2/3$
$d'_{iR}$	$d'_R$	$s'_R$	$b'_R$	$0$	$-1/3$	$-1/3$

 规范本征态  $d'_i$  通过 **CKM 矩阵**  $V_{ij}$  与**质量本征态**  $d_i$  联系起来:  $d'_i = V_{ij} d_j$

# 费米子的电弱规范不变拉氏量

三代费米子的电弱规范不变拉氏量为

$$\mathcal{L}_{\text{EWF}} = \bar{L}_{iL} i\gamma^\mu D_\mu L_{iL} + \bar{Q}_{iL} i\gamma^\mu D_\mu Q_{iL} + \bar{\ell}_{iR} i\gamma^\mu D_\mu \ell_{iR} + \bar{u}_{iR} i\gamma^\mu D_\mu u_{iR} + \bar{d}'_{iR} i\gamma^\mu D_\mu d'_{iR}$$

$\text{SU}(2)_L$  二重态  $Q_{iL}$  和  $L_{iL}$  的协变导数为  $D_\mu = \partial_\mu - igW_\mu^a T^a - ig'YB_\mu$ ，其中  $T^a = \sigma^a/2$ ； $\text{SU}(2)_L$  单态  $\ell_{iR}$ 、 $u_{iR}$  和  $d'_{iR}$  的协变导数为  $D_\mu = \partial_\mu - ig'YB_\mu$

这里没有质量项：质量项耦合左右手旋量场，从而破坏规范对称性

规范场  $W_\mu^a$  ( $a = 1, 2, 3$ ) 和  $B_\mu$  跟左手旋量场的耦合与右手旋量场不同，而电磁场却相同 为了得到电磁相互作用，需要把  $W_\mu^3$  和  $B_\mu$  混合起来

$$\begin{pmatrix} A_\mu \\ Z_\mu \end{pmatrix} = \begin{pmatrix} c_W & s_W \\ -s_W & c_W \end{pmatrix} \begin{pmatrix} B_\mu \\ W_\mu^3 \end{pmatrix}, \quad s_W \equiv \sin \theta_W = \frac{g'}{\sqrt{g^2 + g'^2}}, \quad c_W \equiv \sqrt{1 - s_W^2}$$

$g$  是  $\text{SU}(2)_L$  规范耦合， $g'$  是  $\text{U}(1)_Y$  规范耦合，转动角  $\theta_W$  称为温伯格角

$A_\mu$  对应于光子，传递电磁相互作用，电磁耦合常数  $e = gs_W = g'c_W$

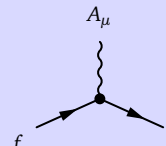
$Z_\mu$  和  $W_\mu^\pm \equiv (W_\mu^1 \mp iW_\mu^2)/\sqrt{2}$  对应于  $Z^0$  和  $W^\pm$  玻色子，传递弱相互作用

# 费米子的电弱规范相互作用

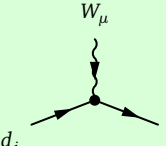
费米子电弱规范相互作用拉氏量  $\mathcal{L}_{\text{EWF}} \supset e A_\mu J_{\text{EM}}^\mu + g Z_\mu J_Z^\mu + g(W_\mu^+ J_W^{+,\mu} + \text{h.c.})$

电磁流  $J_{\text{EM}}^\mu \equiv \sum_f Q_f \bar{f} \gamma^\mu f$ , 弱带电流  $J_W^{+,\mu} \equiv \frac{1}{\sqrt{2}} (\bar{u}_{iL} \gamma^\mu V_{ij} d_{jL} + \bar{\nu}_{iL} \gamma^\mu \ell_{iL})$

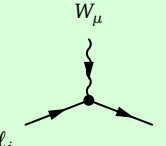
弱中性流  $J_Z^\mu \equiv \frac{1}{2c_W} \sum_f \bar{f} \gamma^\mu (g_V^f - g_A^f \gamma_5) f$ ,  $g_V^f \equiv T_f^3 - 2Q_f s_W^2$ ,  $g_A^f \equiv T_f^3$



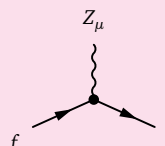
$$= iQ_f e \gamma^\mu$$



$$= i \frac{g}{\sqrt{2}} V_{ij} \gamma^\mu P_L$$



$$= i \frac{g}{\sqrt{2}} \gamma^\mu P_L$$



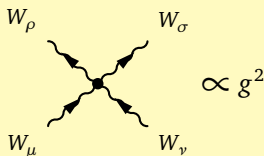
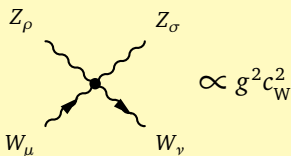
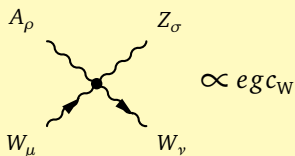
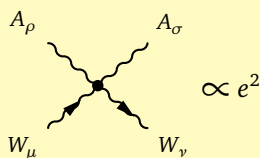
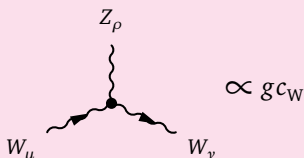
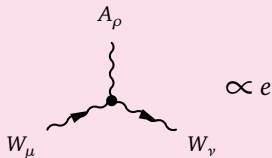
$$= i \frac{g}{2c_W} \gamma^\mu (g_V^f - g_A^f \gamma_5)$$

# 电弱规范玻色子的自相互作用

🍷 电弱规范场自身的规范不变拉氏量为

$$\mathcal{L}_{\text{EWG}} = -\frac{1}{4}W_{\mu\nu}^a W^{a,\mu\nu} - \frac{1}{4}B_{\mu\nu}B^{\mu\nu}$$

🌙 场强张量  $W_{\mu\nu}^a \equiv \partial_\mu W_\nu^a - \partial_\nu W_\mu^a + g\epsilon^{abc}W_\mu^b W_\nu^c$ ,  $B_{\mu\nu} \equiv \partial_\mu B_\nu - \partial_\nu B_\mu$



# 布劳特—恩格勒—希格斯机制

❗ 夸克、带电轻子、 $Z^0$  和  $W^\pm$  都具有质量，但上述  $SU(2)_L \times U(1)_Y$  规范理论的拉氏量**还没有任何质量项**

😊 规范对称性使规范理论具有非常良好的性质，特别是**可重整性**

😬 在规范理论中直接放入**规范场的质量项**，会破坏规范对称性

😬 直接引入**旋量场的质量项**会破坏  $SU(2)_L \times U(1)_Y$  规范对称性

💡 为了保证可重整性的同时提供规范玻色子和费米子的质量，需要引入**布劳特—恩格勒—希格斯 (BEH) 机制**，使  $SU(2)_L \times U(1)_Y$  对称性自发破缺

🌀 引进**希格斯标量场**  $\Phi = \begin{pmatrix} \phi^+ \\ \phi^0 \end{pmatrix}$ ， $\phi^+$  和  $\phi^0$  都是复标量场； $\Phi$  是  $SU(2)_L$  二重态，具有弱超荷  $Y = 1/2$ ，电弱规范不变的拉氏量为

$$\mathcal{L}_H = (D^\mu \Phi)^\dagger (D_\mu \Phi) - V_H(\Phi), \quad V_H(\Phi) = -\mu^2 \Phi^\dagger \Phi + \lambda (\Phi^\dagger \Phi)^2$$

🌑 协变导数为  $D_\mu = \partial_\mu - igW_\mu^a T^a - ig'YB_\mu$ ， $T^a = \sigma^a/2$

🌑  $V_H(\Phi)$  是希格斯标量场的**势能项**，依赖于  $\Phi^\dagger \Phi = |\phi^+|^2 + |\phi^0|^2$



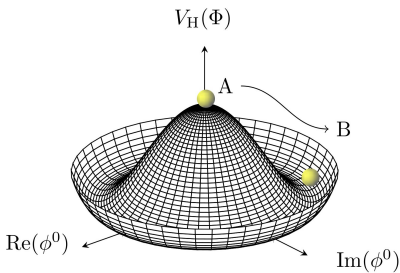
# 自发对称性破缺

希格斯场势能的行为由二次项系数  $\mu^2$  和四次项系数  $\lambda$  决定；假设  $\lambda > 0$

若  $\mu^2 < 0$ ，势能项  $V_H(\Phi)$  的最小值对应  $\Phi^\dagger \Phi = 0$ ；希格斯场真空期待值为  $\langle \Phi \rangle = \begin{pmatrix} 0 \\ 0 \end{pmatrix}$ ，它在电弱规范变换下不变，故规范对称性未受到破坏

若  $\mu^2 > 0$ ， $\Phi^\dagger \Phi = 0$  处变成  $V_H(\Phi)$  的极大值，而最小值位于  $\Phi^\dagger \Phi = v^2/2$  对应的 3 维球面上，其中  $v = \sqrt{\mu^2/\lambda}$

若压缩掉  $\phi^+$  的实部和虚部两个维度，则  $V_H(\Phi)$  在  $\phi^0$  的实部和虚部坐标上呈现右图所示墨西哥草帽状的形式；希格斯场的真空期待值位于上述 3 维球面上的某一点，不失一般性，可取为  $\langle \Phi \rangle = \frac{1}{\sqrt{2}} \begin{pmatrix} 0 \\ v \end{pmatrix}$



电弱规范变换会改变这个期待值，故真空态不满足电弱规范对称性；这种拉氏量满足对称性、真空态却不满足的现象称为对称性自发破缺

# 希格斯玻色子

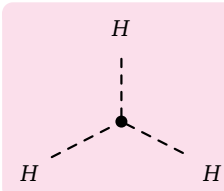
🌀 以上述真空期待值  $\langle \Phi \rangle$  为基础，考虑沿  $\phi^0$  实轴扰动的实标量场  $H(x)$

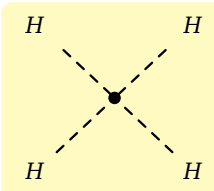
$$\Phi(x) = \frac{1}{\sqrt{2}} \begin{pmatrix} 0 \\ v + H(x) \end{pmatrix}, \quad \Phi^\dagger \Phi \rightarrow \frac{1}{2}(v + H)^2$$

🌙 这种参数化方法称为**么正规化**，其它规范可由  $SU(2)_L$  规范变换得到

📍  $-V_H(\Phi) = \frac{1}{2}\mu^2(v + H)^2 - \frac{1}{4}\lambda(v + H)^4 = \frac{1}{4}\mu^2 v^2 - \frac{1}{2}m_H^2 H^2 - \frac{m_H^2}{2v}H^3 - \frac{m_H^2}{8v^2}H^4$

✨  $m_H \equiv \sqrt{2}\mu = \sqrt{2\lambda}v$ ，实标量场  $H$  对应于一个**质量为  $m_H$**  的中性标量粒子  $H^0$ ，称为**希格斯玻色子**，具有**三线性和四线性**自相互作用


$$= -3i \frac{m_H^2}{v}$$


$$= -3i \frac{m_H^2}{v^2}$$

# 规范玻色子质量

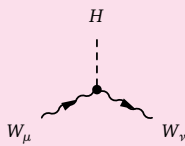
🎈 在么正规范下，希格斯场的协变动能项化为

$$\begin{aligned}(D^\mu \Phi)^\dagger (D_\mu \Phi) &= \frac{1}{2} (\partial^\mu H) (\partial_\mu H) + m_W^2 W_\mu^+ W^{-,\mu} \\ &+ \frac{1}{2} m_Z^2 Z_\mu Z^\mu + \frac{2m_W^2}{v} H W_\mu^+ W^{-,\mu} + \frac{m_Z^2}{v} H Z_\mu Z^\mu \\ &+ \frac{m_W^2}{v^2} H^2 W_\mu^+ W^{-,\mu} + \frac{m_Z^2}{2v^2} H^2 Z_\mu Z^\mu\end{aligned}$$

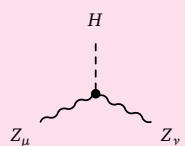
🌙  $m_W \equiv \frac{1}{2} g v$ ,  $m_Z \equiv \frac{1}{2} \sqrt{g^2 + g'^2} v$

✨ 对称性自发破缺之后， $W^\pm$  和  $Z^0$  规范玻色子

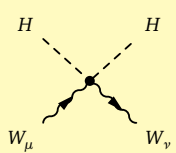
获得质量  $m_W$  和  $m_Z$ ，有 3 个希格斯场自由度变成它们的纵向极化分量



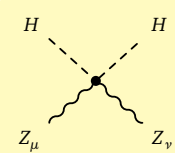
$$= 2i \frac{m_W^2}{v} g^{\mu\nu}$$



$$= 2i \frac{m_Z^2}{v} g^{\mu\nu}$$



$$= 2i \frac{m_W^2}{v^2} g^{\mu\nu}$$



$$= 2i \frac{m_Z^2}{v^2} g^{\mu\nu}$$

# 费米子质量

📍 希格斯场与旋量场之间能够发生电弱规范不变的**汤川相互作用**

$$\mathcal{L}_Y = -\tilde{y}_d^{ij} \bar{Q}_{iL} d'_{jR} \Phi - y_u d_i \bar{Q}_{iL} u_{iR} \tilde{\Phi} - y_{\ell_i} \bar{L}_{iL} \ell_{iR} \Phi + \text{h.c.}, \quad \tilde{\Phi} \equiv i\sigma^2 \Phi^*$$

💡 **Cabibbo-Kobayashi-Maskawa (CKM) 矩阵**  $V$  将  $\tilde{y}_d^{ij}$  对角化, 满足

$$V_{li}^\dagger \tilde{y}_d^{ij} V_{jk} = y_{d_k} \delta_{lk}$$

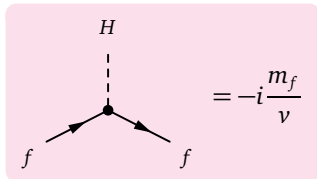
✨ 对称性自发破缺之后, 汤川耦合项化为

$$\mathcal{L}_Y = -m_{d_i} \bar{d}_i d_i - m_{u_i} \bar{u}_i u_i - m_{\ell_i} \bar{\ell}_i \ell_i - \frac{m_{d_i}}{v} H \bar{d}_i d_i - \frac{m_{u_i}}{v} H \bar{u}_i u_i - \frac{m_{\ell_i}}{v} H \bar{\ell}_i \ell_i$$

$$☾ \quad m_{d_i} \equiv \frac{y_{d_i} v}{\sqrt{2}}, \quad m_{u_i} \equiv \frac{y_{u_i} v}{\sqrt{2}}, \quad m_{\ell_i} \equiv \frac{y_{\ell_i} v}{\sqrt{2}}$$

☀️ 可见, **费米子获得了质量**

★ 费米子与希格斯玻色子发生汤川相互作用, 耦合常数正比于费米子质量



# 夸克味混合

💡 在标准模型中，可以将上型夸克的规范态就取为质量态，而下型夸克的规范态与质量态通过 **CKM 矩阵**  $V$  联系：

$$\begin{pmatrix} u' \\ c' \\ t' \end{pmatrix} = \begin{pmatrix} u \\ c \\ t \end{pmatrix}, \quad \begin{pmatrix} d' \\ s' \\ b' \end{pmatrix} = V \begin{pmatrix} d \\ s \\ b \end{pmatrix}$$


💡 **概率守恒**要求  $V$  是**么正**矩阵，标准参数化形式为

$$V = \begin{pmatrix} 1 & & \\ & c_{23} & s_{23} \\ & -s_{23} & c_{23} \end{pmatrix} \begin{pmatrix} c_{13} & s_{13}e^{-i\delta} & \\ & 1 & \\ -s_{13}e^{i\delta} & & c_{13} \end{pmatrix} \begin{pmatrix} c_{12} & s_{12} & \\ -s_{12} & c_{12} & \\ & & 1 \end{pmatrix}$$


$$= \begin{pmatrix} c_{12}c_{13} & s_{12}c_{13} & s_{13}e^{-i\delta} \\ -s_{12}c_{23} - c_{12}s_{23}s_{13}e^{i\delta} & c_{12}c_{23} - s_{12}s_{23}s_{13}e^{i\delta} & s_{23}c_{13} \\ s_{12}s_{23} - c_{12}c_{23}s_{13}e^{i\delta} & -c_{12}s_{23} - s_{12}c_{23}s_{13}e^{i\delta} & c_{23}c_{13} \end{pmatrix} \quad \begin{matrix} s_{ij} \equiv \sin \theta_{ij} \\ c_{ij} \equiv \cos \theta_{ij} \end{matrix}$$

✨  $V$  包含 3 个转动角  $\theta_{12} \simeq 13^\circ$ ,  $\theta_{23} \simeq 2.4^\circ$ ,  $\theta_{13} \simeq 0.20^\circ$ ,  
1 个引起 **CP 破坏**的复相角  $\delta \simeq 71^\circ$

# CKM 矩阵元

 拟合实验数据得到 **CKM 矩阵元** 的模为

$$|V_{ij}| = \begin{pmatrix} 0.97446 \pm 0.00010 & 0.22452 \pm 0.00044 & 0.00365 \pm 0.00012 \\ 0.22438 \pm 0.00044 & 0.97359^{+0.00010}_{-0.00011} & 0.04214 \pm 0.00076 \\ 0.00896^{+0.00024}_{-0.00023} & 0.04133 \pm 0.00074 & 0.999105 \pm 0.000032 \end{pmatrix}$$

 如果忽略第三代夸克的混合，CKM 矩阵可近似为

$$V_{ij} \simeq \begin{pmatrix} \cos \theta_C & \sin \theta_C & \\ -\sin \theta_C & \cos \theta_C & \\ & & 1 \end{pmatrix}, \quad \theta_C \text{ 称为 } \mathbf{Cabibbo \text{ 角}}, \text{ 满足 } \sin \theta_C = |V_{12}|$$

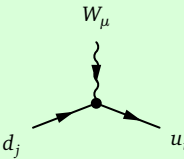
 CKM 矩阵的**非对角元**非零  **弱带电流**可以耦合**不同代的夸克**

✨  $W^+ \rightarrow u\bar{d}'$  过程在质量态上表现为

$$W^+ \rightarrow u\bar{d} \quad (V_{11} \text{ 引起})$$

$$W^+ \rightarrow u\bar{s} \quad (V_{12} \text{ 引起})$$

$$W^+ \rightarrow u\bar{b} \quad (V_{13} \text{ 引起})$$


$$= i \frac{g}{\sqrt{2}} V_{ij} \gamma^\mu P_L$$

# 超出标准模型：中微子味混合

💥 中微子振荡实验表明，中微子具有微小质量，而且存在味混合

🌀 狄拉克中微子的味道本征态（即规范本征态）与质量本征态通过 Pontecorvo–Maki–Nakagawa–Sakata (PMNS) 矩阵  $U$  联系：

$$\begin{pmatrix} \nu_e \\ \nu_\mu \\ \nu_\tau \end{pmatrix} = U \begin{pmatrix} \nu_1 \\ \nu_2 \\ \nu_3 \end{pmatrix}, \quad U = \begin{pmatrix} \bar{c}_{12}\bar{c}_{13} & \bar{s}_{12}\bar{c}_{13} & \bar{s}_{13}e^{-i\bar{\delta}} \\ -\bar{s}_{12}\bar{c}_{23} - \bar{c}_{12}\bar{s}_{23}\bar{s}_{13}e^{i\bar{\delta}} & \bar{c}_{12}\bar{c}_{23} - \bar{s}_{12}\bar{s}_{23}\bar{s}_{13}e^{i\bar{\delta}} & \bar{s}_{23}\bar{c}_{13} \\ \bar{s}_{12}\bar{s}_{23} - \bar{c}_{12}\bar{c}_{23}\bar{s}_{13}e^{i\bar{\delta}} & -\bar{c}_{12}\bar{s}_{23} - \bar{s}_{12}\bar{c}_{23}\bar{s}_{13}e^{i\bar{\delta}} & \bar{c}_{23}\bar{c}_{13} \end{pmatrix}$$

✨  $\bar{\theta}_{12} \sim 33^\circ$ ,  $\bar{\theta}_{23} \sim 41^\circ$  (质量正序) 或  $\bar{\theta}_{23} \sim 50^\circ$  (质量逆序),  $\bar{\theta}_{13} \sim 8.4^\circ$

💧 如果中微子是马约拉纳费米子，则额外存在 2 个  $CP$  破坏相角  $\rho$  和  $\sigma$ ，PMNS 矩阵应该再右乘  $\text{diag}(1, e^{i\rho}, e^{i\sigma})$

☀️ 太阳中微子振荡    ➡️  $\bar{\theta}_{12}$

☁️ 大气中微子振荡    ➡️  $\bar{\theta}_{23}$

💥 反应堆中微子振荡    ➡️  $\bar{\theta}_{13}$

$$= i \frac{g}{\sqrt{2}} U_{ij} \gamma^\mu P_L$$

# $e^+e^-$ 湮灭

💥 通过**电磁流**和**弱中性流**相互作用，

$e^+e^-$  可湮灭成一对正反费米子  $f\bar{f}$

✨  $\sqrt{s} \sim m_Z$  处出现  $Z$  的共振峰

💡 受共振态和弱中性流影响较小时，

截面比  $R = \frac{\sigma(e^+e^- \rightarrow q_i\bar{q}_i)}{\sigma(e^+e^- \rightarrow \mu^+\mu^-)}$  体现夸

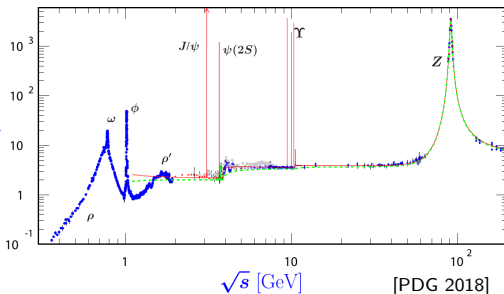
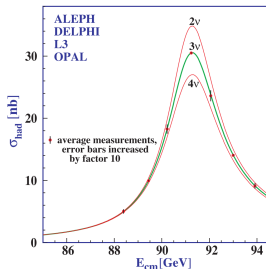
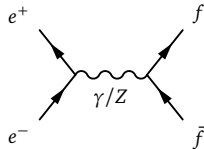
克味数、电荷跟  $\mu$  子的相对差异

🌑  $1 \text{ GeV} \leq \sqrt{s} \leq 3.6 \text{ GeV}$  处，

$$R \simeq 3 \left[ 2 \left( -\frac{1}{3} \right)^2 + \left( \frac{2}{3} \right)^2 \right] = 2 \quad R$$

🌑  $3.7 \text{ GeV} \leq \sqrt{s} \leq 10 \text{ GeV}$  处，

$$R \simeq 3 \left[ 2 \left( -\frac{1}{3} \right)^2 + 2 \left( \frac{2}{3} \right)^2 \right] = \frac{10}{3}$$





# $\beta$ 衰变

## 弱相互作用引起原子核 $\beta$ 衰变

质量数为  $A = Z + N$  的原子核具有  $Z$  个质子和  $N$  个中子，通过  $\beta$  衰变会变成具有  $Z + 1$  个质子和  $N - 1$  个中子的原子核  $A'$ ，即

$$A(Z, N) \rightarrow A'(Z + 1, N - 1) + e^- + \bar{\nu}_e$$

在核子层次，以上过程体现为中子  $\beta$  衰变，

$$n \rightarrow p + e^- + \bar{\nu}_e$$

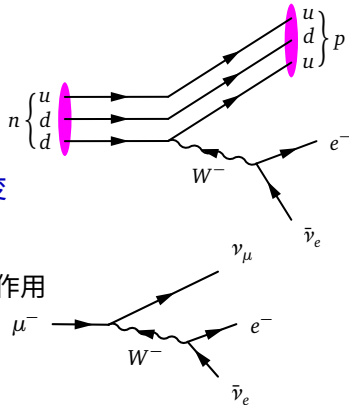
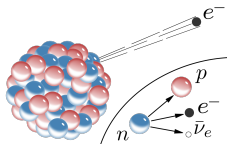
在夸克层次，以上过程体现为  $d$  夸克  $\beta$  衰变

$$d \rightarrow u + e^- + \bar{\nu}_e$$

此过程来自  $W^-$  玻色子传递的弱带电流相互作用

在轻子方面，类似的过程有  $\mu$  子衰变

$$\mu^- \rightarrow \nu_\mu + e^- + \bar{\nu}_e$$



# 介子弱衰变

💥 **弱带电流**相互作用也会引起介子衰变

●  $D^+(c\bar{d})$  衰变到  $\bar{K}^0$  和轻子或夸克 (👉 介子)

$$D^+ \rightarrow \bar{K}^0 + \nu_e / \nu_\mu / u + e^+ / \mu^+ / \bar{d}$$

💡  $D^+$  中  $\bar{d}$  夸克实际没参与衰变, 称为**旁观者**

●  $\pi^-(\bar{u}d)$  衰变到带电轻子和反中微子

$$\pi^- \rightarrow e^- / \mu^- + \bar{\nu}_e / \bar{\nu}_\mu$$

💡  $\pi^-$  静止系中, **角动量守恒**要求末态轻子和反轻子的螺旋度相同, 但弱带电流只耦合左旋费米子和右旋反费米子, 需要由**质量翻转螺旋度** 👉 **螺旋度压低效应**

👉  $\frac{\Gamma(\pi^- \rightarrow e^- \bar{\nu}_e)}{\Gamma(\pi^- \rightarrow \mu^- \bar{\nu}_\mu)} \sim \frac{m_e^2}{m_\mu^2} \simeq 2 \times 10^{-5}$

👉  $\pi^- \rightarrow \mu^- \bar{\nu}_\mu$  分支比为 99.9877%,  $\pi^- \rightarrow e^- \bar{\nu}_e$  分支比为 0.0123%

